

## بررسی عددی تاثیر مسیرهای فشار دوخطی بر پرشدن گوشه قالب در فرآیند هیدروفرمینگ لوله در قالب جعبه ای شکل

محسن لوح موسوی<sup>\*۱</sup>میثم شهبازی<sup>۲</sup>

\*loh-mousavi@iaukhsh.ac.ir

### چکیده

پرشدن گوشه قالب در فرآیند هیدروفرمینگ، از مسائل بسیار مهم است. تعریف صحیح مسیر فشار، یکی از پارامترهای مهم در بهبود پرشدگی گوشه قالب به شمار می‌رود. با این حال به دلیل پیچیدگی مسئله، هنوز ارتباط بین مسیر فشار با میزان پرشدگی گوشه به خوبی مشخص نیست. در این مقاله، تاثیر مسیرهای فشار دو خطی مختلف بر پرشدن گوشه قالب در فرآیند هیدروفرمینگ لوله در قالب جعبه ای شکل به صورت عددی و تجربی بررسی شده است. مسیر فشار دوخطی، ساده ترین مسیر فشار ممکن برای انجام فرآیند هیدروفرمینگ لوله در قالب جعبه ای شکل است. در این حالت، فشار داخلی در ثانیه اول فرآیند (مرحله آب بندی) تا یک مقدار اولیه افزایش یافته و پس از انجام عمل آب بندی به تدریج تا رسیدن به فشار نهایی (فشار کالیبراسیون) بطور خطی افزایش می‌یابد. نشان داده می‌شود که برای مسیرهای فشار دوخطی که فشار اولیه آنها کمتر از فشار تسیلیم باشد، یک چروکیدگی اولیه مفید در گوشه بوجود می‌آید که باعث بهبود پرشدگی بیشتر قالب در گوشه‌های طولی قالب می‌گردد، درحالیکه برای سایر مسیرها، در ابتدای فرآیند یک برجستگی محدب اتفاق می‌افتد و به همین خاطر، جریان مواد به درون قالب کند شده و در نتیجه، گوشه قالب بطور نامناسب شکل می‌گیرد.

**واژه‌های کلیدی:** هیدروفرمینگ لوله، مسیر فشار داخلی، قالب جعبه ای شکل، روش اجزای محدود

<sup>۱</sup>- استادیار، دانشگاه آزاد اسلامی واحد خمینی شهر

<sup>۲</sup>- دانشجوی کارشناسی ارشد، دانشگاه آزاد اسلامی واحد نجف آباد

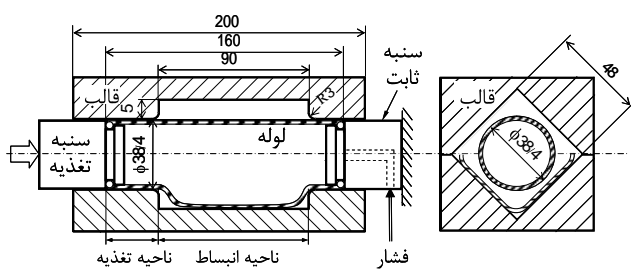
مقدار فشار اولیه، برای این نوع مسیرهای فشار بر بهود پر شدگی قالب مورد بررسی قرار گرفته است. همچنین با انجام آزمایش‌های مربوطه، نتایج بدست آمده با نتایج تجربی مقایسه می‌شود تا صحت و درستی نتایج حل عددی بررسی گردد.

## ۲- هیدروفرمینگ لوله در قالب جعبه‌ای شکل

### ۱- روش آزمایشگاهی

مجموعه قالب جعبه‌ای شکل و پرس بکار رفته برای بررسی تجربی و شبیه سازی اجزای محدود هیدروفرمینگ لوله در شکل‌های (۱) و (۲) و در شکل (۳) پرس استفاده شده در آزمایش‌ها، نشان داده شده است. لوله از جنس فولاد کم کربن بوده و طول، ضخامت و قطر خارجی آن بترتیب ۱۶۰،  $\frac{38}{4}$  میلیمتر می‌باشد. سنبه تغذیه از یک سمت و با سرعت ۱ میلیمتر بر ثانیه بر انتهای لوله فشار وارد کرده و سمت دیگر لوله ثابت فرض شده است. مقدار کل جابجاگی سنبه تغذیه برای این آزمایش ۲۵ میلیمتر می‌باشد.

در جدول شماره (۱) نتایج آنالیز فولاد بکار رفته در لوله آورده شده است. شکل (۴) نیز بیانگر نمودار تنش تسلیم و کرنش پلاستیک لوله استفاده شده می‌باشد.



شکل ۱ اجزای مهم قالب و ابزار استفاده شده در هیدروفرمینگ لوله در قالب جعبه‌ای شکل (ابعاد به میلیمتر).

### ۱- مقدمه

فرایند هیدروفرمینگ لوله روش نسبتاً جدیدی برای شکل دادن لوله به منظور تولید قطعات توخالی پیچیده است. از مزایای اصلی این فرایند، کم کردن وزن قطعات و کم کردن عملیات جوشکاری است و به همین خاطر در سال‌های اخیر مورد توجه صنایع خودروسازی قرار گرفته است [۱]. در این فرایند، لوله‌های مستقیم و یا خمیده تحت فشار سیال به اشکال مورد نظر درمی‌آیند. با انساط لوله تحت فشار بالا، ضخامت جداره آن کاهش می‌یابد. این امر، درنهایت منجر به پارگی لوله می‌شود. برای اجتناب از کاهش موضعی ضخامت جداره لوله، همزمان با اعمال فشار داخلی، لوله از یک سمت یا هر دو سمت تحت بار محوری فشاری قرار می‌گیرد تا ماده بیشتری در راستای محوری به ناحیه تغییر شکل، تغذیه شود. با این حال، تغذیه محوری نامناسب منجر به بوجود آمدن عیوب دیگری از قبیل چروکیدگی و کمانش لوله و یا خالی ماندن گوشه‌های قالب می‌شود [۲]. بطورکلی، برای تولید یک قطعه بی‌عیب با ابعاد و ترانس های مورد نیاز، انتخاب مسیر فشار بر حسب تغذیه محوری بسیار مهم است [۳].

کوروکاوا [۴]، پرشدن گوشه‌های قالب را در دو مرحله به روش هیدروفرمینگ بهبود بخشید، او در مرحله اول قطعه کار را به فرم یک بیضی شکل دهی کرد و سپس این بیضی را تحت فشار سیال بصورت یک مکعب درون قالب جعبه‌ای شکل فرم داد. ردی [۵]، بصورت عملی و همچنین با شبیه سازی عددی به بررسی توزیع ضخامت و شعاعهای بوجود آمده در گوشه‌های یک قطعه در قالب جعبه‌ای شکل پرداخت. نگارنده اول این مقاله و همکارانش [۶]، به بررسی عملی و تحلیلی تاثیر فشار نوسانی بر پرشدن گوشه‌های قالب پرداخته و با کنترل چروکیدگی به کمک فشار داخلی نوسانی، مقدار پرشدن گوشه‌های قالب در فرآیند هیدروفرمینگ لوله در قالب جعبه‌ای را بهبود دادند.

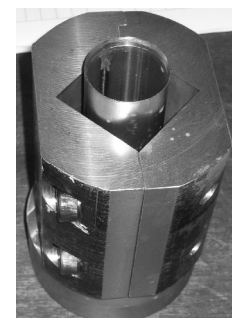
در این مقاله، فرآیند هیدروفرمینگ لوله در قالب جعبه‌ای شکل، برای مسیرهای فشار دو خطی به کمک روش اجزای محدود و بطور سه بعدی شبیه سازی شده و تاثیر

## ۲-۲- شبیه سازی اجزای محدود

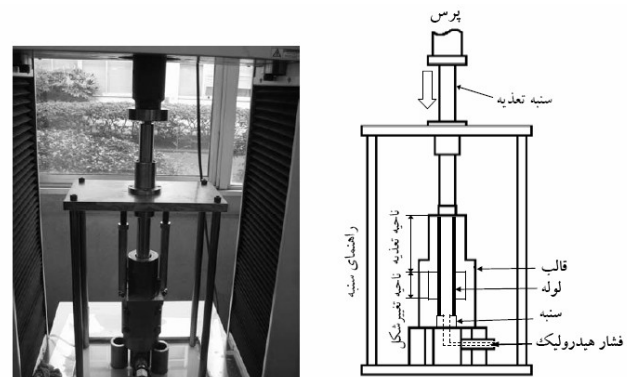
فرآیند هیدروفرمینگ لوله جعبه ای شکل در قالب بسته به کمک نرم افزار اجزای محدود ABAQUS و کد صریح دینامیکی شبیه سازی شد. قالب و لوله توسط المان پوسته ای مدل سازی شده است. نوع و تعداد المان استفاده شده برای لوله بترتیب S4R و ۳۴۰۰ می باشد. سطح قالب با المان صلب از نوع R3D4 مدل سازی شده است و از روش پنالتی برای مدل سازی رفتار تمامی قالب و لوله استفاده شده است. تنش سیلان و ضرایب ناهمسانگردی برای لوله فولادی STKM11A با کربن متوجه بوسیله آزمایش کشش ساده در جهات مختلف اندازه گیری شده است. شکل (۵) و جدول (۲) به ترتیب نشان دهنده مدل اجزای محدود و شرایط استفاده شده در شبیه سازی اجزای محدود می باشند.

جدول ۲ شرایط استفاده شده در شبیه سازی اجزای محدود.

مدول یانگ	GPa ۲۱۰
ضریب پوآسون	۰/۳
تنش تسلیم	۲۹۰ MPa
آمقدار	۱/۶
ضریب اصطکاک	۰/۱
قطر خارجی لوله	۳۸/۴ mm
ضخامت حداکثر لوله	۱/۱ mm
سرعت سنبه	۱mm/s



شکل ۲ لوله و قالب هیدروفرمینگ جعبه ای شکل.

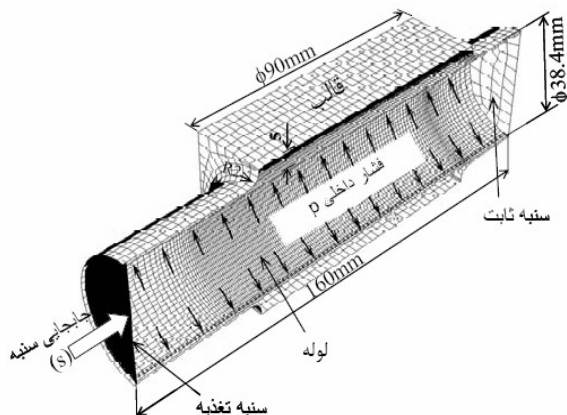


جدول ۱ مشخصات فولاد بکار رفته در آزمایش.

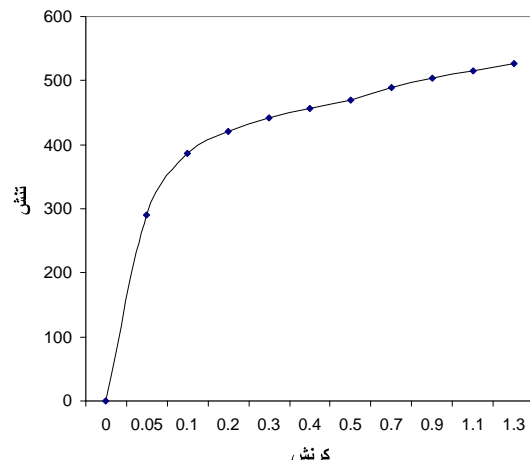
فشار مورد نظر

درصد سیلیسیم	۰/۰۳
درصد منگنز	۰/۴
درصد فسفر	۰/۰۲۵

نمودار تنش-کرنش حقیقی فولاد STMK11A



شکل ۵ مدل اجزای محدود فرآیند هیدروفرمینگ لوله در قالب جعبه ای شکل.

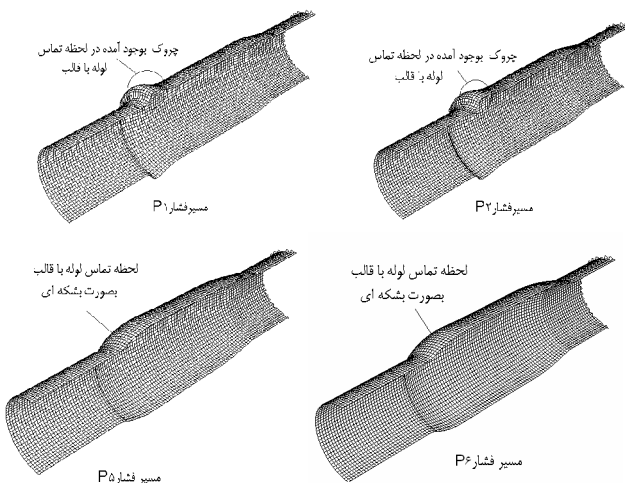


شکل ۶ نمودار تنش-کرنش حقیقی لوله استفاده شده.

با توجه به شکل (۶) ابتدا در یک ثانیه اول از فرآیند هیدروفرمینگ، لوله از سیال (آب و روغن) پر می شود و پس از رسیدن فشار درونی لوله به فشارهای اولیه نشان داده شده در شکل، فشار درون لوله به تدریج و به صورت خطی تا فشار نهایی (۳۲ مگا پاسکال) بالا برده می شود. برای مسیرهای فشار  $P_1$ ,  $P_2$  و  $P_3$  فشار اولیه کمتر از فشار تسليم لوله و در مسیرهای فشار  $P_4$  تا  $P_6$  مقدار فشار اولیه در لحظه یک ثانیه، بیشتر از فشار تسليم تعریف شده است که علت آن در قسمت های بعد نشان داده می شود.

#### ۴- تاثیر مسیرهای مختلف فشار بر تغییر شکل لوله و تشکیل گوشه طولی

در شکل (۷) مقدار چروکیدگی در لحظه تماس اولیه لوله و قالب برای چهار مسیر فشار انتخابی نمایش داده شده است. در مسیرهای فشار  $P_1$ ,  $P_2$  و  $P_3$  با توجه به اینکه فشار اولیه درون لوله هنوز به فشار تسليم نرسیده و از طرف دیگر، به دلیل جابجایی سنبه تغذیه در این زمان و تغذیه محوری لوله، مقداری چروکیدگی در ابتدای لوله ملاحظه می شود که با افزایش تدریجی فشار، این چروکیدگی در گوشه قالب پخش شده و باعث بهبود پر شدگی آن میشود. با افزایش فشار اولیه در مسیرهای فشار بعدی و گذشت آن از محدوده فشار تسليم از مقدار این چروک کاسته شده و لوله در لحظات اولیه به صورت بشکه ای یا بالج شده در خواهد آمد.



شکل ۷ مقدار چروکیدگی در لحظه تماس اولیه لوله و قالب برای چهار مسیر فشار انتخابی.

### ۳- مسیرهای مختلف فشار

#### ۳-۱- فشار داخلی

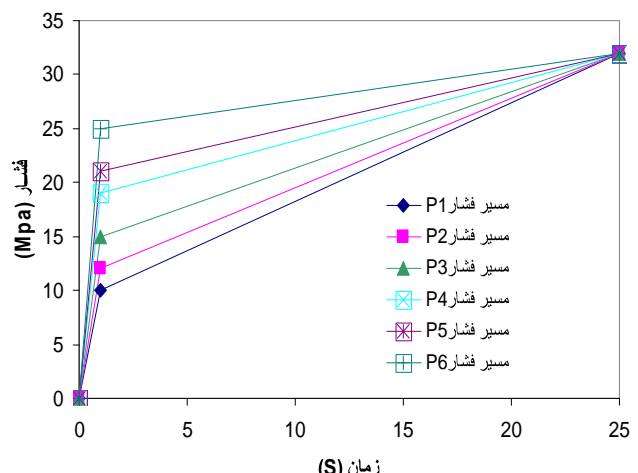
فشار تسليم حداقل فشاری است که باید به لوله وارد شود تا لوله شروع به تغییر شکل نماید. مدلها تحلیلی که فشار تسليم را ارائه می کنند برای یک لوله با تقارن محوری وانتهای ثابت بر اساس تست بالجینگ حاصل میشود. براین اساس و با توجه به معادله (۱) فشار مورد نیاز اولیه برای تغییر شکل لوله را می توان بدست آورد.

$$P_i = \frac{Sy}{(D-t)} \quad (1)$$

که در آن  $P_i$  فشار تسليم،  $Sy$  تنש تسليم،  $t$  ضخامت اولیه لوله و  $D$  قطر لوله می باشد. با جایگذاری، فشار اولیه تسليم بصورت زیر بدست می آید:

$$P_i = \frac{290 \text{ MPa} * 2 * 1.1}{(38.4 - 1.1)} = 17 \text{ MPa}$$

برای بررسی اثر مسیرهای مختلف فشار بر توزیع ضخامت، جریان مواد در طی فرآیند و نیز تغییر شکل لوله اعم از پرشدگی گوشه های قالب، مسیرهای مختلف فشار طبق شکل (۶) انتخاب شده است. همانطور که در شکل ملاحظه می شود، شش مسیر فشار مختلف برای انجام این آزمایش در نظر گرفته شده است.



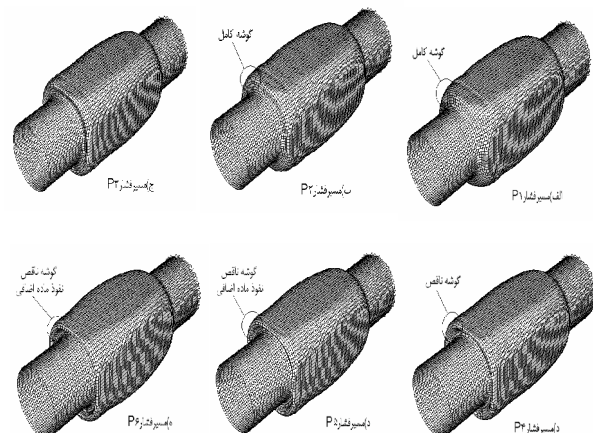
شکل (۶) مسیرهای فشار استفاده شده در شبیه سازی اجزای محدود.

## ۵- بردارهای جریان مواد

بردارهای جریان مواد مربوط به ناحیه تغییر شکل لوله در لحظه تماس اولیه لوله و قالب و زمان پایان فرآیند برای مسیرهای مختلف فشار در شکل (۹) آورده شده است. همانطور که ملاحظه می شود، در مسیرهای فشار  $P_1$ ،  $P_2$  و  $P_3$  جریان مواد در لحظه تماس اولیه یکنواخت تر بوده و سطح تماس بین لوله و قالب ناچیز میباشد که این امر باعث کاهش اصطکاک در لحظه تماس اولیه لوله با قالب و جریان راحت تر مواد در درون قالب می شود. به تدریج با افزایش فشار درون لوله جریان مواد از چروک بوجود آمده به سمت گوشه های قالب، علی الخصوص در مقطع طولی شروع به حرکت کرده و باعث بهبود در پرشدگی گوشه های طولی قالب می شود. در مسیر فشار  $P_2$  به علت مناسب بودن لحظه تماس اولیه و ایجاد حالت چروکی مناسب و اصطکاک کم، جریان مواد بصورت مطلوبتری نسبت به مسیرهای فشار  $P_1$  و  $P_3$  توانسته اند که به سمت حفره های خالی قالب حرکت نمایند.

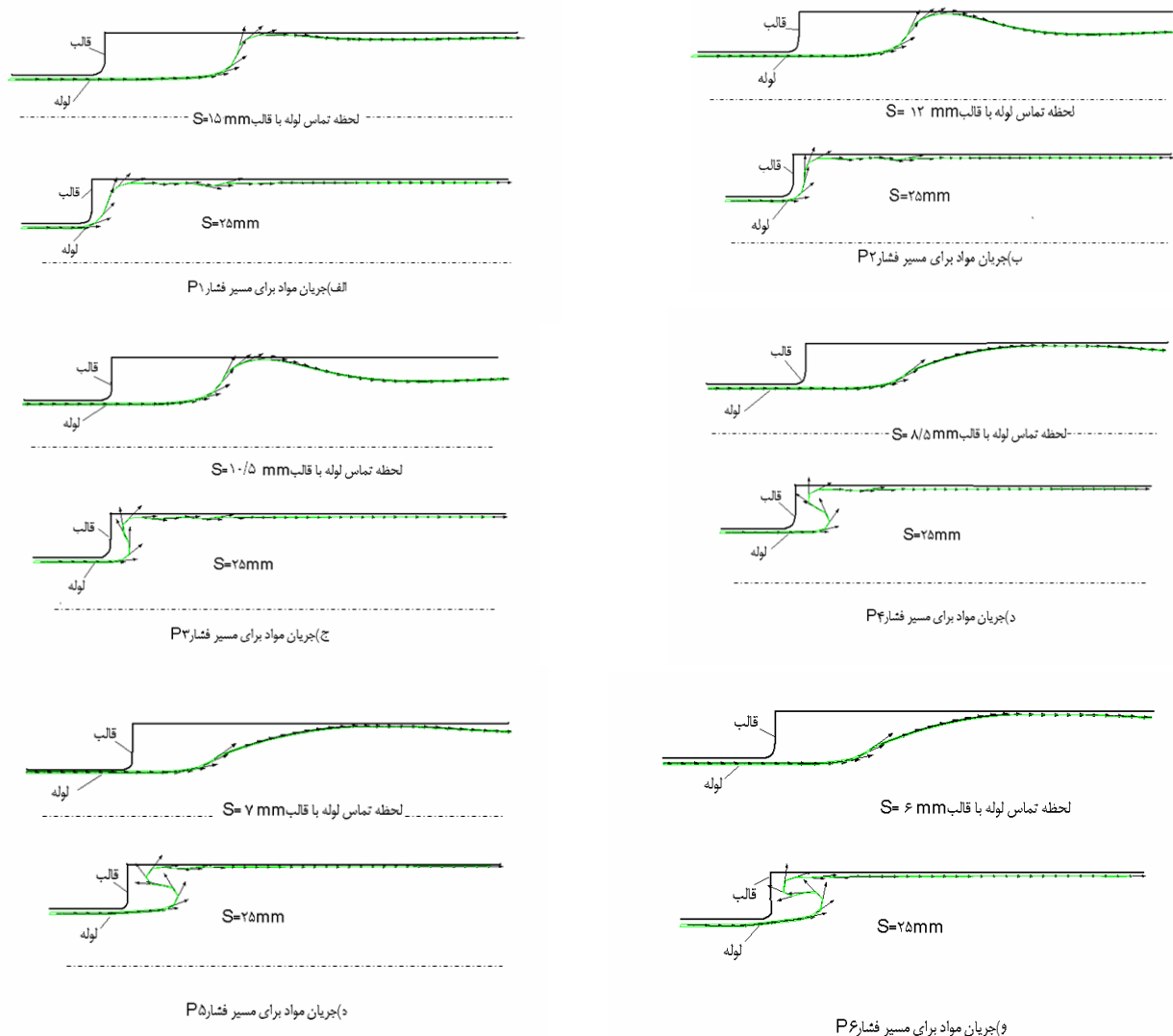
شکل (۸) شبکه اجزای محدود تغییر شکل یافته را در پایان فرآیند برای هر ۶ مسیر فشار نمایش می دهد. همانطور که در شکل دیده می شود، برای مسیرهای فشار  $P_1$  و  $P_2$  شرایط نزدیک به هم می باشد و گوشه کامل تری نسبت به سایر موارد، پیدا نموده و در شکل، پرشدگی کامل و مطلوب این گوشه مشاهده می شود.

این، بدلیل بوجود آمدن چروکیگی اولیه مفید (شکل ۷ را بینید) و پخش یکنواخت آن در درون قالب می باشد که در انتها نیز بصورت خط باریکی اثر آن ملاحظه می گردد. اما برای مسیرهای فشار  $P_3$  تا  $P_6$ ، به علت افزایش فشار اولیه و زمان کم برای تغذیه طولی توسط سنبه ها، تماس اولیه لوله با قالب بصورت بالجینگ و بشکه ای بوده و چروکیگی اولیه در گوشه بوجود نیامده است (شکل ۸)، به همین خاطر، تماس اولیه لوله با قالب زودتر و با سطح تماس بیشتر اتفاق افتاده است. علاوه بر این، در همان لحظات ابتدایی به علت اصطکاک موجود، جریان مواد فرصت حرکت به سمت گوشه ها را به طور مطلوب پیدا نکرده و رفته رفته با افزایش مقدار تغذیه محوری پدیده نفوذ مواد اضافی (پس زدن مواد به درون قطعه در جهت طولی مشاهده می گردد).



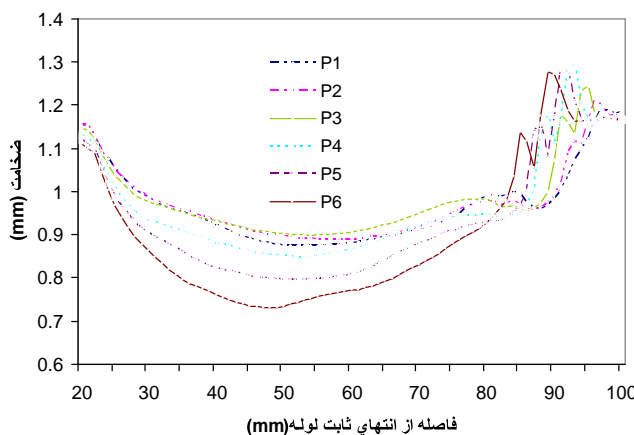
شکل ۸ تغییر شکل های نهایی لوله برای مسیرهای فشار دخانی؛ بدست آمده از روش اجزای محدود.

همانطور که از شکل ۸ ملاحظه می شود گوشه سمت راست قطعه، مقدار پرشدگی کمتری را نشان می دهد که دلیل آن تغذیه یکطرفه لوله (شکل ۱) بوده و در تولید صنعتی به علت وجود تغذیه دوطرفه این مسئله بوجود نمی آید.

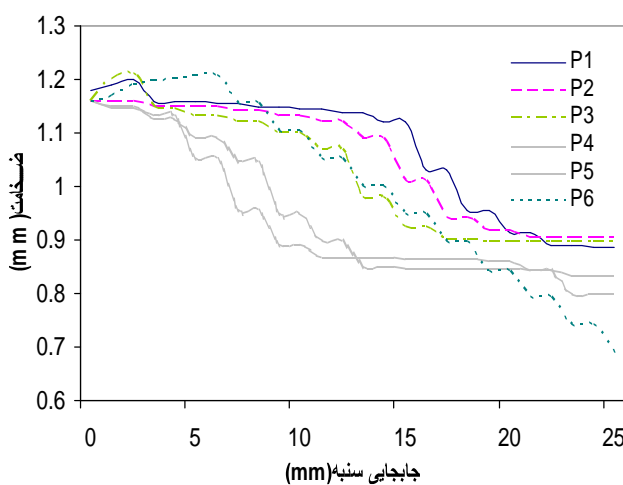


شکل ۹ بردارهای جریان مواد مربوط به ناحیه تغییر شکل لوله در لحظه تماس اولیه

لوله و قالب و زمان پایان فرآیند، مقدار جابجایی سنیه  $S=$ .



شکل ۱۰ توزیع ضخامت برای تمامی مسیرهای فشار در پایان فرآیند.



شکل ۱۱ تغییرات ضخامت لوله در حین فرآیند هیدروفرمینگ لوله در مسیرهای مختلف فشار.

همانطور که مشخص است اگرچه تغییرات ضخامت با توجه به افزایش مقدار جابجایی سنبه ( $S$ ) دارای شیب زیادی است، ولی این کاهش ضخامت در اکثر مسیرهای فشار بغیر از مسیر فشار  $P_6$  از  $S=13$  میلیمتر تا پایان روند ملایمتری را طی میکند.

در وضعیت فشار  $P_1$  به علت کم بودن مقدار چروکیدگی و در نتیجه افزایش سریعتر سطح تماس لوله با قالب و افزایش اصطکاک، حرکت جریان مواد کند شده و برای مسیر فشار  $P_3$  به علت اینکه تماس اولیه در مقایسه با مسیر فشار  $P_2$  زودتر اتفاق می افتاد، اصطکاک ناشی از آن باعث کندی در حرکت مواد به سمت گوشه ها شده در حالیکه هنوز تغذیه محوری پایان نیافته است، به همین دلیل مواد اضافی ناشی از تغذیه محوری به داخل قطعه پس زده شده است و پرشدگی قالب نیز کمتر می باشد.

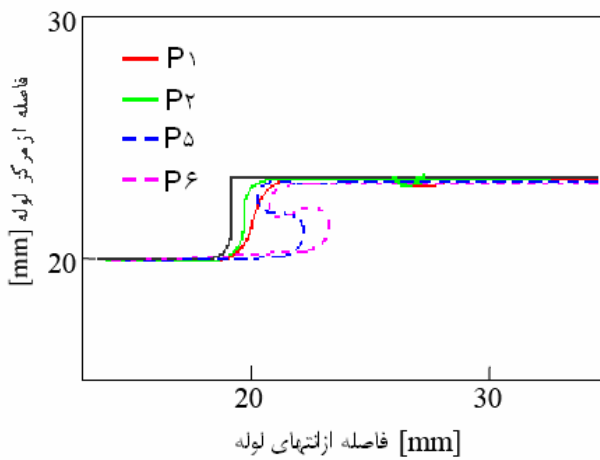
در مسیرهای فشار  $P_4$  تا  $P_6$  به علت بالاتر بودن فشار اولیه، جریان مواد با انحنای بیشتری نسبت به سه مسیر اول حرکت کرده و تماس اولیه لوله با قالب در زمان کمتر و بصورت بشکه ای اتفاق میافتد و مانع از حرکت مواد به داخل حفره قالب و همچنین گوشه های طولی قالب می گردد و حتی با تغذیه محوری بیشتر، تجمع مواد اضافی و در نتیجه شکل نامناسبی برای قطعه کار بوجود می آید.

## ۶- تاثیر مسیرهای مختلف فشار بر ضخامت جداره لوله

در شکل (۱۰) توزیع ضخامت قطعه برای تمامی مسیرهای فشار در پایان فرآیند مقایسه شده است. همانطور که انتظار می رود مطابق شکل هرچه فشار اولیه بیشتر باشد یعنی از مسیر فشار  $P_1$  به سمت مسیر  $P_6$  توزیع ضخامت کاهش می یابد زیرا قبل از تغذیه محوری کافی، ضخامت لوله در اثر فشار اولیه بالا و اصطکاک کاهش می یابد. از طرف دیگر توزیع ضخامت مربوط به فشار  $P_2$  نسبتاً از ضخامت مربوط به بقیه مسیرهای فشار بیشتر است. شکل (۱۱) تغییرات ضخامت لوله را در طول فرآیند و برای مسیرهای مختلف فشار نشان می دهد.

در شکل (۱۳) نیز پرشدگی قالب برای ۴ مسیر فشار انتخابی نشان داده شده است. ملاحظه می‌گردد، پرشدگی مربوط به مسیر  $P_2$  از همه بیشتر است.

در شکل (۱۴) قطعات شکل یافته در آزمایش هیدروفرمینگ در قالب جعبه ای شکل با فشار داخلی دوخطی برای سه مسیر فشار از شش مسیر فشار مندرج در نمودار شکل (۶) نشان داده است. با مقایسه این شکل با شکل (۸) می‌توان به خوبی شده است. در شکل (۱۵)، شکل گوشه قطعه بدست آمده از آزمایش و حل عددی برای مسیر فشار  $P_2$  مقایسه شده است. از این شکل و همچنین از مقایسه شکل های (۸) و (۱۴) به خوبی پیداست که همخوانی مناسبی بین نتایج اجزای محدود و نتایج تجربی بدست آمده، وجود دارد.



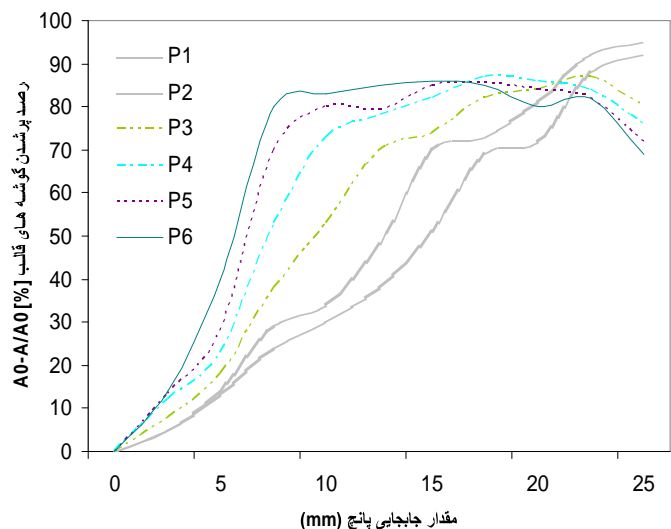
شکل ۱۳ پرشدگی قالب برای ۴ مسیر فشار.

## ۷- تاثیر مسیرهای مختلف فشار بر درصد پرشدگی گوشه قالب

درصد پرشدگی گوشه قالب مطابق رابطه (۲) تعریف می‌شود که در آن  $A_0$  مساحت فضای خالی اولیه قالب و  $A$  مساحت پرنده یا فضای خالی ثانویه قالب پس از پایان فرآیند می‌باشد.

$$\text{درصد پرشدگی گوشه قالب} = \left( \frac{A_0 - A}{A_0} \right) \times 100 \quad (2)$$

شکل (۱۲)، درصد پرشدگی گوشه قالب برای ۶ مسیر فشار در نظر گرفته شده که از تحلیل اجزای محدود بدست آمده را نشان می‌دهد. مطابق شکل با افزایش تغذیه محوری، مقدار پرشدگی گوشه نیز افزایش می‌یابد. بیشترین مقدار پرشدگی برای مسیرهای فشار  $P_1$  و  $P_2$  بوده که دلیل آن تشکیل

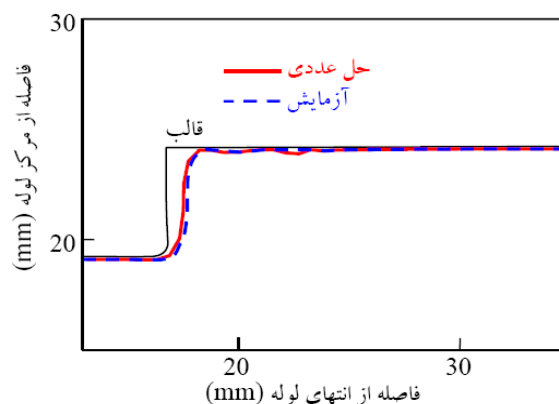


شکل ۱۲ درصد پرشدگی گوشه قالب برای تمامی مسیرهای فشار.



شکل ۱۴ قطعات شکل یافته در آزمایش هیدروفرمینگ در قالب جعبه ای شکل با فشار داخلی دوخطی.

هیدروفرمینگ لوله های جعبه ای شکل، بهتر است مقدار فشار اولیه (فشار آب بندی) کمتر از فشار تسلیم لوله تعريف شود تا از انبساط ناگهانی لوله و در نتیجه تماس زود هنگام لوله و قالب جلوگیری گردد.



شکل ۱۵ مقایسه حل عددی با نتایج تجربی برای پرشدگی قالب با مسیر فشار  $P_2$

#### -۸- نتیجه گیری

تأثیر مسیرهای مختلف فشار بر شکل پذیری و پرشدگی گوشه قالب و همچنین بر توزیع ضخامت در طی فرآیند برای فرآیند هیدروفرمینگ در قالب جعبه ای شکل بررسی شد. بررسی ها نشان می دهد که در مسیرهای فشاری که از زیر فشار تسلیم لوله شروع می شود، در لحظه برقراری تماس اولیه بین لوله و قالب، مقداری چروکیدگی در لوله بوجود می آید که با کنترل و پخش آن در گوشه قالب، میزان پرشدگی در گوشه های طولی قطعه بهبود می یابد. این به آن علت است که در لحظه تماس اولیه لوله با قالب به علت کوچک بودن سطح تماس لوله و قالب در ناحیه چروک خورده، اصطکاک اولیه برای جریان مواد کاهش یافته و در طول فرآیند و به تدریج با افزایش فشار و تغذیه محوری، جریان مواد بهتر به درون محفظه قالب رانده می شود. علاوه بر بهبود پرشدگی برای این حالت، توزیع ضخامت نیز بهبود می یابد. در مسیرهای فشاری که بیشتر از فشار تسلیم باشند مشاهده شد که تماس اولیه لوله با قالب بصورت ناگهانی و در همان لحظات اولیه تغییر شکل صورت گرفت که علاوه بر نازکی ضخامت در جداره های لوله، باعث بوجود آمدن اصطکاک زیاد در همان لحظات اولیه تماس شده و جریان مواد نمی تواند به صورت مطلوب گوشه های قالب را پر کنند. بر اساس نتایج بدست آمده از این تحقیق می توان نتیجه گیری کرد که برای پرشدن بهتر گوشه قالب در

## مراجع

- [1] B. J. Mac Donald and M. Hashmi, "Near-Net-Shape Manufacture of Engineering Components using Bulge Forming Process", *J. Mater. Process. Technol.*, Vol. 120 (2002), 341-
- [2] F. Dohmann, C. Hartl, Tube hydroforming—research and practical application, *J. Mater. Process. Technol.*, 71 (1997), 174–186.
- [3] M. Koc and T. Altan, "Prediction of Forming Limits and Parameters in the Tube Hydroforming Process", *Int. J. Mach. Tools Manufact.*, Vol. 42 (2002), 123-138.
- [4] H. Kurokawa and M. Kojima: Proc. 7th ICTP, Yokohama, Japan, (2002), p. 1471
- [5] G.T. Kridli, L. Bao, P.K. Mallick and Y. Tian: *J. Mater. Process. Technol.* Vol. 133 (2003), p. 287
- [6] M. Loh-Mousavi, K. Mori, K. Hayashi, S. Maki and M. Bakhshi, "3-D finite element simulation of pulsating T-shape hydroforming of tubes", *Key Engin. Mater.*, 340 (2007), 353-358.

This document was created with Win2PDF available at <http://www.daneprairie.com>.  
The unregistered version of Win2PDF is for evaluation or non-commercial use only.